

IMAGENS

OTORRINOLARINGOLOGIA E CIRURGIA DE CABEÇA E PESCOÇO SEIO MAXILAR

OTORHINOLARYNGOLOGY AND HEAD AND NECK MAXILAR SINUS SURGERY

João Bosco Lopes **BOTELHO**¹, Gecílido Soriano dos **ANJOS**², Lesemky C. Herculano **CATTEBEKE**⁴, Viviane Saldanha **OLIVEIRA**³, Rodolfo **FAGIONATO**⁴, Carlos Eduardo Vale **BARROS**⁴, Alex Vidaurre **SANTANA**⁴, Álvaro Siqueira da **SILVA**⁵, Alexandre Borges **BARBOSA**⁶, Railson Farias e **SILVA**⁶, José Marques do **PRADO FILHO**⁷, Pedro Cintra **MACHADO**⁷, José Maria **CABRAL JR**⁷, Sandro Pinheiro Pessoa **COELHO**⁷.

Os autores apresentam imagens das intrincadas relações anatômicas com outras estruturas ósseas crânio-faciais contíguas, dos seios maxilares, apresentando-se com características singulares. São também apresentadas as características do ponto de vista topográfico. As cinco imagens evidenciam patologias do seio maxilar.



Figura 1. Esquerda: seios da face; direita: corte coronal, mostrando as relações dos seios maxilares com:

- a. superiormente: órbitas;
- b. inferiormente: boca;
- c. medianalmente: fossas nasais;
- d. lateralmente: partes moles da face.

-
1. Doutor Livre Docente da UFAM, Chefe do Serviço de Cirurgia de Cabeça e Pescoço do HUGV e Coordenador da RM-ORL do HUGV;
 2. Prof. Substituto do DCC-UFAM e Preceptor das RM em ORL dos HUGV e HSJ;
 3. Prof.^a. Voluntária do DCC-UFAM, Coordenadora da RM-ORL do HSJ e Preceptora da RM-ORL do HUGV;
 4. Prof. Voluntário do DCC-UFAM e Preceptor das RM-ORL dos HUGV e HSJ;
 5. Médico Residente de ORL do HSJ;
 6. Médico Residente de ORL do HUGV;

7. Médico Residente de Cirurgia Geral – Módulo de Cirurgia de Cabeça e Pescoço do HUGV.

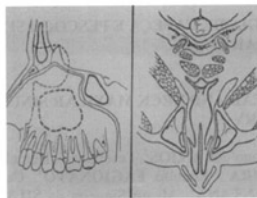


Figura 2. Esquerda: corte sagital; direita: corte axial, mostrando as relações de contiguidade do seio maxilar com o etmóide e o andar anterior do crânio.

Os extraordinários recursos obtidos com a tomografia computadorizada permitiram, nos últimos quinze anos, a melhor compreensão da densidade e dimensões físicas das patologias localizadas nos seios paranasais. Com esse suporte tecnológico a abordagem clínica e/ou cirúrgica tornou-se mais segura e competente.



Figura 3. Tumor com característica clínico-radiológica benigna, densidade de partes moles, ocupa parte do seio maxilar esquerdo, sem comprometer o óstio de drenagem, com limites precisos, sem qualquer sinal de invasão da parede óssea: compatível com cisto mucoso.



Figura 4. Tumor com característica clínico-radiológica benigna, densidade óssea, ocupa parte do seio maxilar esquerdo com continuidade na parede inferior, sem comprometer o óstio de drenagem e respeita as paredes sinusal: compatível com osteoma.



Figura 5. Tumor com característica clínico-radiológica benigna, densidade de partes moles, ocupa completamente o seio maxilar esquerdo e se estende à fossa nasal, com obliteração do óstio e sem invasão dos limites ósseos etmoídeo-órbito-maxilares: compatível com polipose naso-sinusal.

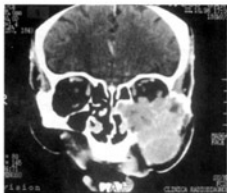


Figura 6. Tumor com característica clínico-radiológica maligna, densidade de partes moles, ocupa completamente o seio maxilar esquerdo, invade e destrói as paredes ósseas do maxilar, fossa nasal homóloga e partes moles da face; compatível com tumor maligno do seio maxilar.

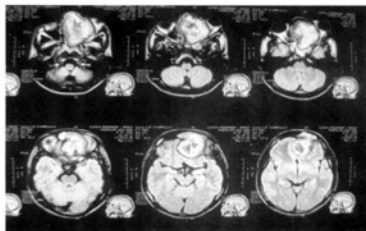


Figura 7. O conjunto das imagens evidencia tumor com característica clínico-radiológica invasiva, densidade fibro-ósea, ocupando integralmente o seio maxilar e fossa nasal esquerdos e o etmóide. Destroi os limites ósseos dessas estruturas, penetra no andar anterior do crânio, deslocando massa encefálica frontal. Apesar da agressividade, é possível verificar que o tecido cerebral está sendo deslocado pelo tumor, sem sinal de infiltração, fazendo supor tratarse de neoplasia benigna. Compatível com firoma ossificante.